卡维地洛羟丙基-β-环糊精包合物的制备与评价

周洁,蒋曙光*,周建平(中国药科大学,南京 210009)

摘要:目的 制备卡维地洛羟丙基-β-环糊精包合物,对包合物进行物性研究。方法 采用超声法制备包合物,通过相溶解度研究包合类型,以差示扫描热分析法(DSC)和 X-射线衍射法验证卡维地洛羟丙基-β-环糊精包合物的形成,并测定包合物的溶解度和溶出度。结果 相溶解度曲线呈 A_L 型,表明卡维地洛能够与羟丙基-β-环糊精形成 1:1 的包合物。DSC和 X-射线衍射结果显示药物峰消失,证明包合物的形成。包合物的溶解度比原药提高 5 倍,溶出速度明显加快。结论 超声法制备的卡维地洛羟丙基-β-环糊精包合物能显著提高原药的溶解度和溶出速度。

关键词:卡维地洛: 羟丙基-β-环糊精: 包合物

中图分类号: R943.4 文献标志码: A 文章编号: 1007-7693(2012)06-0516-04

Preparation and Evaluation of Carvedilol Hydroxypropyl-β-Cyclodextrin Inclusion Complex

ZHOU Jie, JIANG Shuguang*, ZHOU Jianping(China Pharmaceutical University, Nanjing 210009, China)

ABSTRACT: OBJECTIVE To prepare carvedilol hydroxypropyl- β -cyclodextrin(HP- β -CD) inclusion complex by ultrasonic method and to investigate its physical properties. METHODS The inclusion complex was prepared by ultrasonic method and analyzed by DSC, XRD, phase solubility and dissolution test. RESULTS The solubility of carvedilol increased with increasing HP- β -CD concentration, showing an A_L type phase solubility diagram which revealed that the molar ratio of drug to HP- β -CD was 1:1. The drug peak disappeared in the DSC and XRD which approved that the inclusion complex was prepared. CONCLUSION By forming inclusion complex with HP- β -CD, the solubility and dissolution rate of carvedilol was increased. KEY WORDS: carvedilol; hydroxypropyl- β -cyclodextrin; inclusion complex

基金项目: "重大新药创制"科技重大专项(2009ZX09310-004)

作者简介: 周洁, 女,硕士生 Tel: 15151853165 E-mail: zhoujie1986113@126.com *通信作者: 蒋曙光, 男,博士, 硕导 Tel: (025)83271299 E-mail: tjx24@163.com

•516 • Chin JMAP, 2012 June, Vol.29 No.6

中国现代应用药学 2012 年 6 月第 29 卷第 6 期

卡维地洛(carvedilol,Car)是一种新型具有多种药理作用的抗高血压药,结构式见图 1。它是一种 α 、 β 受体阻断剂,高浓度尚有钙拮抗作用^[1-3]。但该药物难溶于水,半衰期较短,且有较大的首过效应,生物利用度较低。 β -环糊精本身溶解度低,增溶效果有限,而其 2,3,6 位上的羟基随机羟丙基化 得 到 的 羟 丙 基 - β - 环 糊 精 (hydroxypropyl- β -cyclodextrin,HP- β -CD),水中溶解度可达 750 g·L⁻¹。本实验通过超声法制备卡维地洛 HP- β -CD 包合物,旨在通过包合技术增加其溶解度^[4-5],为开发其缓释和脉冲等释药系统提供基础。

图1 卡维地洛化学结构式

Fig 1 Structure of carvedilol

1 仪器与材料

RC-6 溶出度测试仪(天津市光学仪器厂); 752 紫外可见光光度计(上海舜宇恒平科学仪器有限公司); pHS-25 pH 计(上海精科); DF-1 集热式恒温磁力搅拌器(金坛市中大仪器厂); 洁康超声波清洗机 PS-G60(东莞市洁康超声波设备有限公司); 旋转蒸发仪 RE-52A(上海亚荣生化仪器厂); DZF-6050 型真空干燥箱(上海特成机械设备有限公司); 差式扫描量热仪(德国 NETZSCH 公司)。

卡维地洛(齐鲁制药有限公司,批号:905001KF); 无水乙醇(分析纯,南京化学制剂有限公司); 氢氧 化钠(南京化学试剂有限公司); 磷酸二氢钾(南京 化学制剂有限公司); HP-β-CD(西安德立生物化工 有限公司)。

2 方法与结果

2.1 卡维地洛的紫外分光光度测定法

2.1.1 测定波长的确定 称取卡维地洛适量,置于 100 mL 量瓶中,加 10 mL 甲醇振摇溶解,pH 6.8 缓冲液稀释至刻度,摇匀,配制成约 100 μg·mL⁻¹ 的卡维地洛贮备液。精密量取 5 mL 于 50 mL 量瓶中,加入甲醇 20 mL 振摇, pH 6.8 缓冲液稀释至刻度,摇匀,配制成约 10 μg·mL⁻¹ 的溶液。在200~400 nm 内扫描。结果表明,卡维地洛在 285 nm 处有最大吸收,且 HP-β-CD 在此处无吸收,故选

285 nm 为测定波长。

2.1.2 标准曲线的绘制 精密量取约 100 μg·mL⁻¹ 卡维地洛贮备液 1.0,2.5,5.0,7.5,10.0,12.5,15.0 mL 于 50 mL 量瓶中,加入甲醇 5 mL,摇匀,以 pH 6.8 缓冲液稀释至刻度,摇匀,配制成卡维 地洛含量 1~30 μg·mL⁻¹ 的系列溶液,于 285 nm 波长处测量吸光度 A。将吸光度 A 与浓度 C 进行线性回归,得到回归方程 A=0.027C+0.013 3,r=0.999 9,线性范围为 1~30 μg·mL⁻¹。

2.2 HP-β-CD 对卡维地洛的增溶试验

2.2.1 相溶解度曲线的绘制 采用 Higuchi 等^[7]的方法,称取 HP-β-CD 适量,加水溶解,制成为 1, 2, 4, 6, 8, 10 mmol·mL⁻¹的一系列不同浓度的溶液(*n*=3)。分别取 10 mL 置离心管中,加入过量的卡维地洛,摇匀,加塞密闭,在(37±0.5)℃恒温振荡水浴中振摇 48 h 达到平衡。将混悬液 3500 r·min⁻¹离心 10 min,吸取上清液,0.45 μm 滤膜过滤,弃去初滤液,取续滤液稀释至适当浓度,在 285 nm 处测定吸光度。以药物浓度为纵坐标,环糊精浓度为横坐标作相溶解度曲线,结果见图 2。

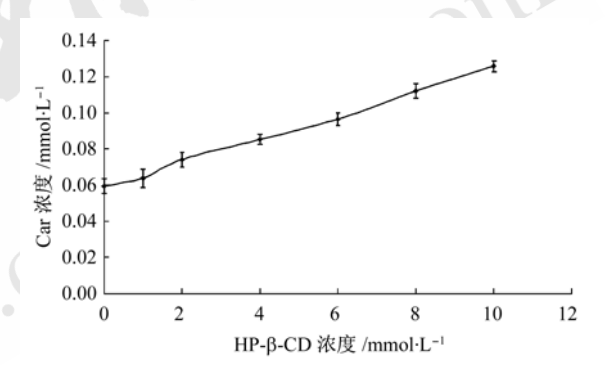


图 2 37 ℃下卡维地洛的相溶解度曲线

Fig 2 Phase solubility plot of carvedilol at 37 °C

根据药物包合后溶解度的改变可以将相溶解度曲线分为 A_L 、 A_P 、 A_N 、 B_S 和 B_L 五种^[8]。 A_L 型为客体分子总浓度与主体分子的浓度成线性关系,随着主体分子浓度的增加,药物在溶液中的溶解量也随之增加。只要主客体分子的摩尔比不发生变化,直线的斜率就不发生改变,即溶液中药物总浓度对主体分子浓度作图应为一直线^[7]。由图 2 可知,卡维地洛溶解度随着 HP- β -CD 的浓度增大而增大。溶解度与 HP- β -CD 浓度呈线性回归,线性方程为 Y=0.006 6X+0.058 8,r=0.998 3,相溶解度曲线为 A_L 型,表明卡维地洛与 HP- β -CD 形成摩尔比为 1: 1 的包合物。

2.2.2 表观稳定常数的测定 采用 Higuchi-Connors^[7]法计算卡维地洛与 HP-β-CD 包合物的表观稳定常数。 Ka=斜率/截距 (1-斜率)=113.0 L·mol⁻¹。表观稳定常数 Ka 是衡量包合物稳定性的重要参数,溶液中游离药物分子与被包合药物分子间存在动态平衡,Ka 越大,说明 HP-β-CD 对药物稳定作用越强。

2.3 包合物制备方法的选择

2.3.1 包合物制备方法 超声法制备卡维地洛 HP-β-CD 包合物: 分别称取 HP-β-CD 4.32 g 与卡维地洛 0.406 4 g(投料比 1:3),置于圆底烧瓶中,加适量 25%乙醇,30 ℃下超声 2 h。45 ℃下旋蒸除去大部分溶剂。将所得白色沉淀与剩余溶剂转移至烧杯中,60 ℃真空干燥 12 h。将所得固体研细,过 80 目筛,即得卡维地洛环糊精包合物。

研磨法制备卡维地洛 HP-β-CD 包合物: 分别 称取 HP-β-CD 4.32 g 与卡维地洛 0.4064 g,置研 钵中,加适量 25%乙醇,研磨 2 h。所得糊状物 60 °C 真空干燥 12 h。将所得固体研细,过 80 目筛,即 得卡维地洛环糊精包合物。

溶液搅拌法制备卡维地洛 HP-β-CD 包合物: 分别称取 HP-β-CD 4.32 g 与卡维地洛 0.406 4 g,置于烧杯中,加适量 25%乙醇。置恒温磁力搅拌器中恒温 30 ℃搅拌 2 h,转移至圆底烧瓶中,45 ℃下减压蒸发除去大部分溶剂,将所得白色沉淀与剩余溶剂转移至烧杯中,60 ℃真空干燥 12 h。将所得固体研细,过 80 目筛,即得卡维地洛环糊精包合物。

按中国药典 2010 版二部附录"溶出度测定法"中桨法操作,量取 pH 6.8 缓冲液 1 000 mL 作为溶出介质,保持(37±0.5)℃,转速 100 r·min⁻¹,以时间为横坐标,累积溶出百分率为纵坐标作图,得 3种不同方法制备的卡维地洛 HP-β-CD 包合物的溶出曲线,结果见图 3。结果表明不同方法制备的包合物溶出速率较原料药都有显著提高,其中超声法制备的包合物溶出速率最快,30 min 即达到78.36%。

2.3.2 包合物溶出度测定 按 "2.3.1"项下溶出度测定条件,分别取卡维地洛 6.25 mg、卡维地洛 HP-β-CD 包合物和物理混合物(相当于 6.25 mg 卡维地洛),分别于 5, 10, 20, 30, 60, 90 min 取样 10 mL, 0.8 μm 微孔滤膜过滤,同时补加同温度的溶出介质 10 mL。以 pH 6.8 缓冲液为空白,

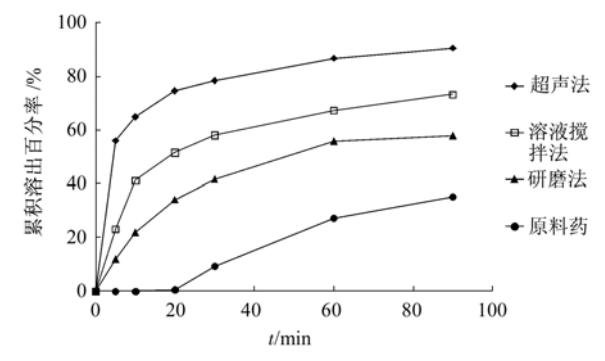


图 3 不同制备方法得到的卡维地洛羟丙基-β-环糊精包合物在 pH6.8 介质中的溶出曲线

Fig 3 Dissolution curve of Car-HP- β -CD prepared with different methods in pH 6.8 medium

测定吸光度 A, 根据回归方程计算各时间的累积释放百分率 F(t),结果见图 4。结果表明卡维地洛HP-β-CD 包合物与卡维地洛及物理混合物的溶出速率有显著差异。卡维地洛原料药 20 min 内没有释放,30 min 溶出度为 9.31%,物理混合物 5 min溶出度为 6.34%,30 min 溶出度为 30.25%,而包合物在 5 min 释放即达 55%,30 min 达到 78.36%,溶出速率较原药及物理混合物有显著提高。

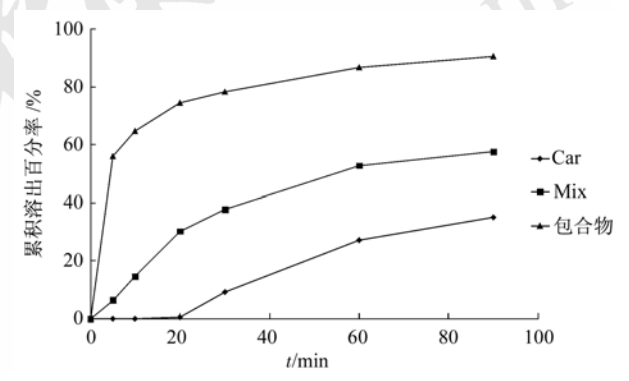


图 4 卡维地洛,物理混合物以及包合物的溶出曲线

Fig 4 $\,$ Dissolution curve of carvedilol , physical mixture and inclusion complex

2.4 包合物样品分析

2.4.1 包合物中卡维地洛含量测定 精密称取卡维地洛 HP-β-CD 包合物适量于 10 mL 量瓶中,加入甲醇溶解,并定容至刻度,摇匀。精密量取 1 mL至 25 mL 量瓶中,经 pH 6.8 缓冲液稀释至刻度,摇匀,于 285 nm 处测量吸光度 A,代入回归方程,计算包合物中的药物含量,按下式进行计算包合率。计算结果得卡维地洛 HP-β-CD 包合物的包合率为 95.84%。

2.4.2 包合物溶解度测定 称取过量卡维地洛、物理混合物、包合物于 25 mL 量瓶中,加水配成过饱和溶液,在(37±0.5)℃水浴振荡器平衡 48 h,使溶解达到平衡。振荡结束后将混悬液 3 500 r·min⁻¹ 离心 10 min,取上清液,0.45 μm 微孔滤膜过滤。取滤液进行适当稀释,于测定波长 285 nm处测吸光度,根据回归方程,计算卡维地洛原料药、包合物、物理混合物分别在水中的溶解度。

测得卡维地洛原料的溶解度为(8.22±0.36) $\mu g \cdot m L^{-1}(n=3)$,形成物理混合物后的溶解度为(12.37±0.45) $\mu g \cdot m L^{-1}(n=3)$,制成包合物后,卡维地洛的溶解度为(40.68±0.75) $\mu g \cdot m L^{-1}(n=3)$,结果表明形成包合物后可以增加卡维地洛的溶解度。

2.5 包合物物相的表征

2.5.1 差示扫描热分析法 分别测定卡维地洛、 HP-β-CD、卡维地洛与 HP-β-CD 物理混合物和包合物的 DSC 图谱。测定参数:铝坩埚,加热速度 $10 \, ^{\circ}C \cdot min^{-1}$,温度范围:常温~250 $^{\circ}C$ 。测定结果见图 5。卡维地洛在 $114.8 \, ^{\circ}C$ 附近有尖锐的吸热峰,对应着卡维地洛的熔点。HP-β-CD 在小于 $100 \, ^{\circ}C$ 时有一较宽的峰,由于其失水引起的。卡维地洛与 HP-β-CD 物理混合物曲线上同时存在药物熔点峰与 HP-β-CD 的失水峰,是药物的图谱和环糊精的图谱的叠加,而包合物的图谱则与混合物完全不同,药物峰消失,表明药物被包裹,由此可见生成了新的物相。

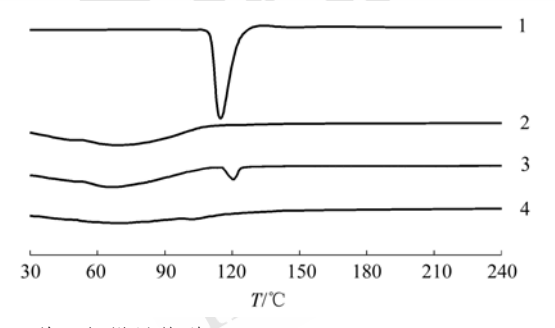


图 5 差示扫描量热谱图

1-卡维地洛; 2-HP-β-CD; 3-物理混合物; 4-包合物

Fig 5 The differential scanning calorimetry spectrum of Car-HP- β -CD systems:

1-carvedilol; 2-HP-β-CD; 3-physical mixture; 4-inclusion complex

2.5.2 X-射线衍射法 对卡维地洛、HP-β-CD、卡维地洛与 HP-β-CD 物理混合物和包合物进行 X-射线衍射测定。测定条件: Cu 靶;扫描范围: 0°~70°;扫描速度: 4°·min⁻¹; 电压: 40 kV; 电流: 30 mA。扫描谱图结果见图 6。由图可见物理混合物谱图中仍存在卡维地洛衍射峰,而包合物谱图

中药物衍射峰消失,说明卡维地洛在包合物中以 无定形状态存在,证明了包合物的形成。

3 讨论

针对卡维地洛等难溶性药物提高溶解度的方 法有很多,例如微粉化,制备固体分散体,环糊 精包合,添加表面活性剂等。本实验通过环糊精 包合技术提高卡维地洛的溶解度和溶出度。

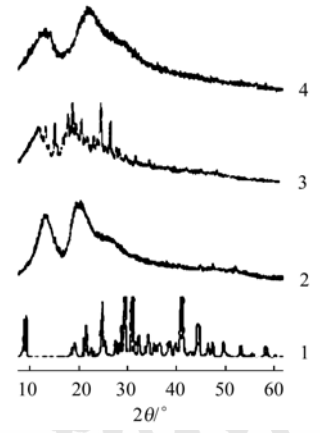


图 6 X-射线衍射谱图

1-卡维地洛; 2-HP-β-CD; 3-物理混合物; 4-包合物

Fig 6 X-Ray diffractograms of Car-HP-β-CD systems: 1–carvedilol; 2–HP-β-CD; 3–physical mixture; 4–inclusion complex

HP-β-CD 是一种新型包合材料,具有水溶性 极好,毒性小等特点。由于其在水中溶解度很大, 不能采用常规的饱和溶液法,采用超声法制备的 包合物,溶解性能好,溶出速度比原料药有显著 提高,为卡维地洛进一步制剂设计提供依据。

REFERENCES

- RUFFOLO H R, BOYLE P, VENUIT R P, et al. Carvedilol(Kredex): a novel multiple action cardiovas cular agent [J]. Drug Today, 1991, 27(3): 465-492.
- [2] BRIL A, SLIVJAK M, DIMARTINO M J, et al. Cardioprotective effects of carvedilol, a novel-adrenoceptor antagonist with vasodilating properties, in anesthetized minipigs: comparision with propranolol [J]. Cardiovase Res, 1992, 26(6): 518.
- [3] HAMBURGER S A, BARONE F E, FEUERSTEIN G I, et al. Carvedilol (Kredex) reduces infarct size in a canine model of acute myocardial in farction [J]. Pharmacology, 1991, 43(3): 113-120
- [4] WANG Z X, DENG Y J, SUN S Y, et al. Preparation of hydrophobic drugs cyclodextrin complex by lyophilization monophase solution [J]. Durg Dev Ind Pharm, 2006, 32(1): 73-83
- [5] HIRLEKAR R, KADAM V. Preparation and characterization of inclusion complexs of carvedilol with methl-β-cyclo-dextrin [J]. J Incl Phenom Macrocycl Chem, 2009, 63: 219-224.
- [6] PING Q N. Modern Pharmaceutics(现代药剂学) [M]. Beijing: China Medical Science Press, 1998: 86.
- [7] HIGUCHI T K, CONNORS K A. Phase solubility techniques[J]. Adv Anal Chem Instru, 1965, 4(2): 212-217.
- 8] HE Z G. Cyclodextrin technology(环糊精包合物技术) [M]. Beijing: People's Medical Publishing House, 2008: 104.

收稿日期: 2011-09-07